荒川感潮域における水質縦断分布特性と数値解析

中央大学大学院 学生員 土肥 学 佐藤武司中央大学 正会員 志村光一 山田 正

1.はじめに 都市河川では,下水処理水や生活排水等の流入,利水目的の取水,潮汐に伴う河川水の滞留等により,水質縦断分布が大きく変化する.本研究では,河川水質縦断分布の特性を捉え,水質分布に関する数値解析を行った.対象河川は荒川感潮域(図-1参照)である.2.荒川感潮域における水質縦断分布 図-2は荒川におけるBOD、COD,DO,溶存酸素飽和度の縦断分布である(各水質濃度は水質年表¹⁾から引用).BOD は秋ヶ瀬堰(35KP)の上流側では年間を通じほぼ一様なのに対し,堰下流では急勾配で高くなる.ここから河口まではBOD 濃度は徐々に低下し,河口で堰上流部とほぼ同じ濃度となる.堰直下における水質濃度の急上昇は冬期の方がより急勾配で上昇する.CODは,BODと同じ傾向があるが,水質濃度のピークがBODよりも下流側に位置する.溶存酸素量は堰上流で高く,飽和度で 90~100%であるのに対し,堰下流側からDOの低下が進行し,10KP前後において最も低

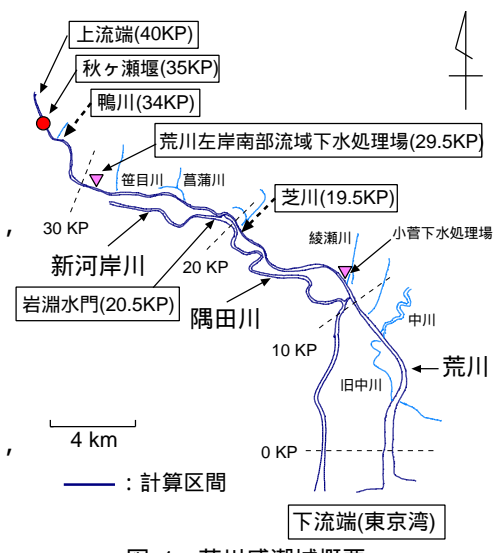


図-1 荒川感潮域概要

く ,飽和度で $40 \sim 50\%$ である .図-3 は荒川における BOD フラックスの縦断分布である .BOD フラックスは , BOD 濃度に日平均流量 20 を掛けて算定したものである .BOD フラックスは冬期において小さく夏期において大きい . これは BOD 濃度が冬期に高く夏期に低くなることと逆の傾向である . 本水質解析ではこれらの

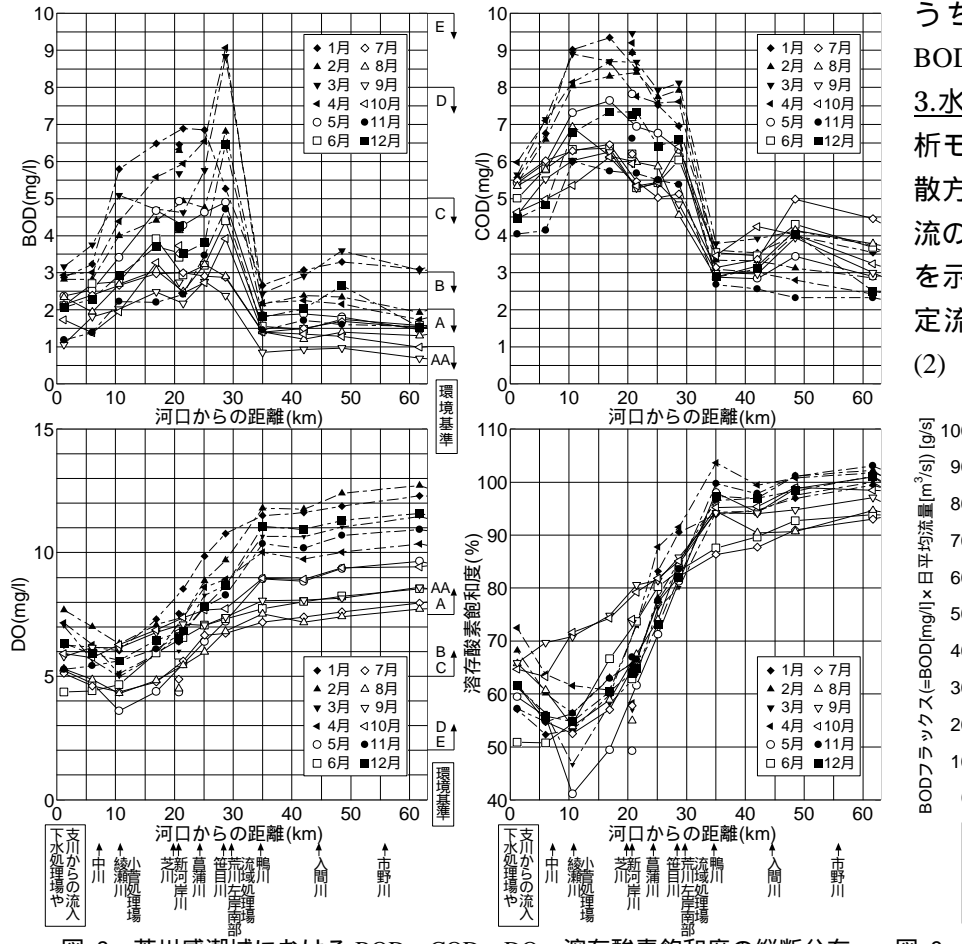


図-2 荒川感潮域における BOD, COD, DO, 溶存酸素飽和度の縦断分布 秋ヶ瀬堰(35KP)から下流側において BOD は急激に高くなり, DO は低くなる. この濃度変化は夏期よりも冬期において強く見られる.

うち縦断分布形が大きく異なる BODとDOについて再現計算した. 3.水質に関する数値解析 本水質解析モデルは,サンプナン式と移流拡散方程式を基礎式とする一次元不定流の水質解析である.表-1に基礎式を示す.水理解析には連続式(1)と不定流の基本式であるサンブナン式(2)を用い,水質解析には移流拡散

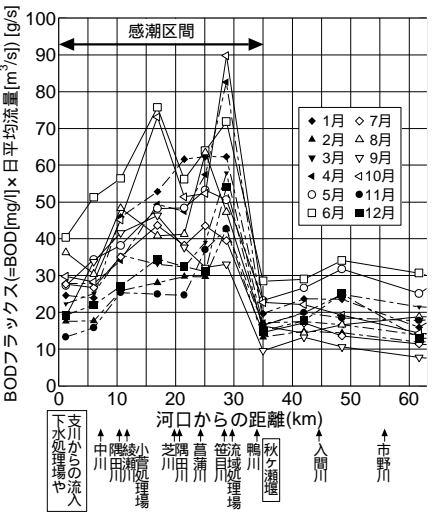


図-3 荒川感潮域における BOD フラックスの 縦断分布(1991~1995 の平均値) BOD フラックスは , 夏期に大きく冬期に小さい .

$$\begin{vmatrix} \frac{\partial Q}{\partial x} + \frac{\partial A}{\partial t} = q & (1) & \frac{\partial Q}{\partial t} + \frac{\partial \left(\mathbf{a} \frac{Q^2}{A}\right)}{\partial x} + gA \frac{\partial h}{\partial x} + \frac{n^2 Q|Q|}{AR^{4/3}} = 0 & (2) & \frac{\partial AC}{\partial t} + \frac{\partial QC}{\partial x} - \frac{\partial}{\partial x} \left(AD \frac{\partial C}{\partial x}\right) = -AKC + C_2 q & (3) \\ \frac{dBOD}{dt} = -K_3 \cdot BOD \cdot \mathbf{q}_3^{(T-20)} & (4) & \frac{dDO}{dt} = K_2 \left(C_s(T) - DO\right) - K_3 \cdot BOD \cdot \mathbf{q}_3^{(T-20)} - R_{20} \mathbf{q}_2^{(T-20)} + P & (5) \end{vmatrix}$$

Q: 流量 $[m^3/s]$, A: 流水断面積 $[m^2]$, q: 横流入量 $[m^3/s]$, g: 重力加速度 $[m/s^2]$, h: 水位[m], R: 径深[m],

a: 流速分布補正係数(=1.0), n: 河床粗度(=0.025), C: 各水質濃度[mg/l], D: 拡散係数[m^2/s], K: 減少係数[1/s],

 C_2 : 横流入水水質濃度[mg/l], DO: 溶存酸素量[mg/l], T: 水温[], BOD: 生物化学的酸素要求量[mg/l],

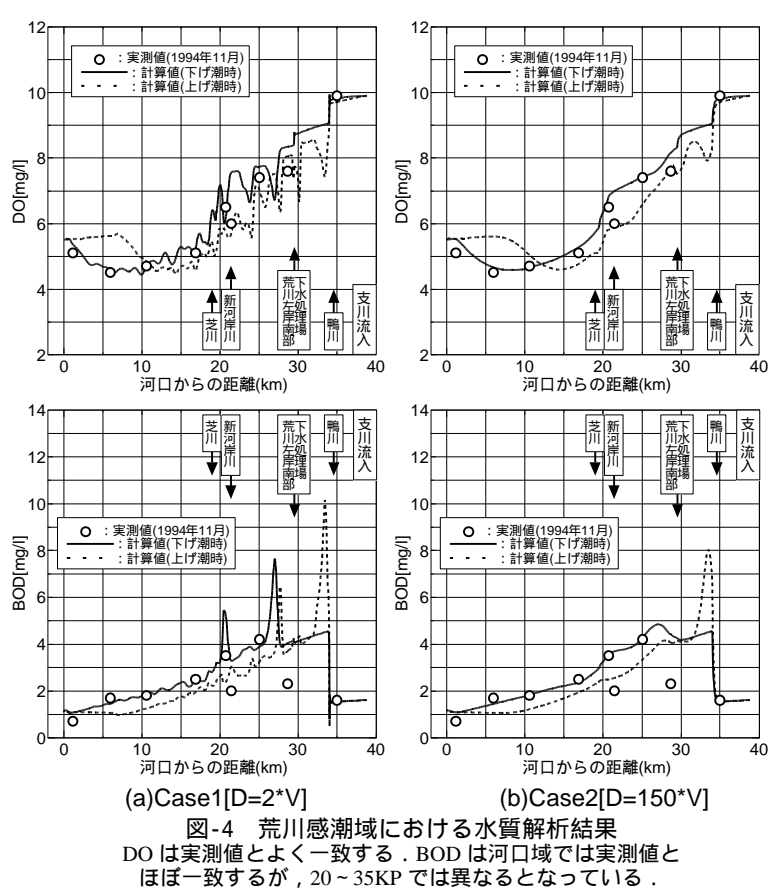
 K_2 : 再曝気係数[1/日](= $K_2(v,h,I)$), C_S : 溶存酸素飽和度[mg/1](= $C_S(T)$), K_3 : 有機物分解率[1/日](= 0.50),

 q_2,q_3 : 温度補正係数(= 1.047,1.024), R_{20} : 水生生物の呼吸率[$\mathrm{gO}_2/\mathrm{m}^2/\mathrm{H}$](= 3.00), P: 酸素生産量[$\mathrm{gO}_2/\mathrm{m}^2/\mathrm{H}$](= 3.50)

方程式(3) と水質濃度 変化式(4), (5)を用いた、(4)の有機物の右 有機物のよう解による BODの減

表-2 水質解析における境界条件				
		流量[m³/s]	DO[mg/l]	BOD[mg/l]
	上流端(39KP)	15	9.9	1.61
	鴨川(34KP)	2.2	3.4	28.8
	下水処理場(29.5KP)	4.7	6.6	15.0
	新河岸川(20.5KP)	15.0	5.86	3.02
	芝川(19.5KP)	4.0	4.3	2.34
	下流端(0KP)	T=12 時間, H=2m	5.52	1.17
	水温は全区間で 10[]とする.		

少を表す。(5)の右辺第 1 項は再曝気による酸素供給,第 2 項は有機物の分解に伴う酸素消費,第 3 項は水生生物の呼吸による酸素消費,第 4 項は植物プランクトンの光合成に伴う酸素供給を表す。拡散係数 D は開水路における縦分散係数式 3 と 1 次元モデルにおける移流(縦)分散係数の経験式 4 に B=200m,h=5m を代入し導かれる流速vの 1 次式とした。計算手法は水理解析にス



タッガード法を適用し,水質解析の移流拡散方程式を時間,空間に前進差分し,それぞれ陰解法で解いた.解析区域は図-1に示す荒川,隅田川の0~40KPである.支川流入は荒川への流入汚濁負荷が大きい鴨川,下水処理場,芝川を考慮し,解析時期は冬期の非洪水時とした.各境界条件(流量,水質濃度)50を表-2に示す.

4.解析結果とその考察 図-4 は荒川感潮域に

おける DO , BOD の水質縦断分布の数値解析結果と実測値を比較したものである. 拡散係数 D は Case1 では D =2・v , Case2 では D =150・v である. DO は実縦断分布をよく再現している. BOD は河口域では実測値とほぼ一致するが 20~30KP において一致していない. これは支川流入を点源からの横流入として解析したためと考えられる. Case1 では , DO , BOD が縦断方向に細かく変動するのに対し , Case2 では縦断分布は細かく変動せず全体的にならされた分布と

なる. Case1 では拡散項の効果が表れず水質の

ピークが流れ方向に移流するのに対し、Case2では拡散項の効果により水質濃度のピークが消失している. 5.まとめ 荒川感潮域における水質縦断分布を解析し、夏期と冬期における分布形状が大きく異なること、冬期の方が流れ方向に急勾配で濃度変化すること、水質濃度は夏期よりも冬期に高くなるのに対しフラックスは夏期に大きく、逆の傾向があることを明らかにした.また、荒川感潮域における水質縦断分布を数値解析に

より再現した結果、冬期の非洪水時における DO の水質縦断分布を精度よく再現することが出来た.

謝辞:本研究では水質解析にデンマーク水理研究所が開発した,水理解析ソフト MIKE11 を提供して頂きこれを用いている.ここに記して謝意を表す.参考文献:1)建設省河川局編:水質年表,1993~1997.2)建設省河川局編:流量年表,1993~1997.3)Elder,J.W.: J.Fluid Mech., 5, pp.544~566, 1956.4)Iwasa et al.: Environmeantal Hydraulics, pp.505~510, 1991.5)布村ら:河川環境総合研究所報告第2号, pp.29~61, 1996.